

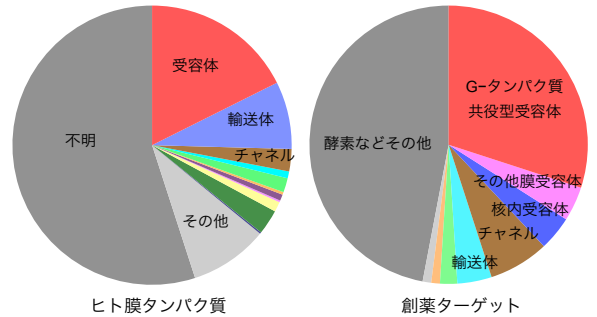
創薬ターゲット膜蛋白質の構造解析とその迅速化



岩田 想
 京都大学大学院医学研究科・
 理化学研究所放射光科学総合研
 究センター

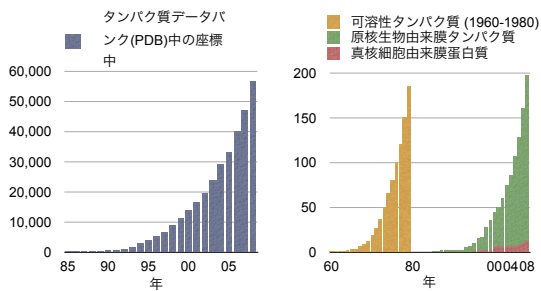
膜タンパク質は重要な創薬ターゲットでもある。

・市販されている医薬の50%以上は膜タンパク質をターゲットとしている。

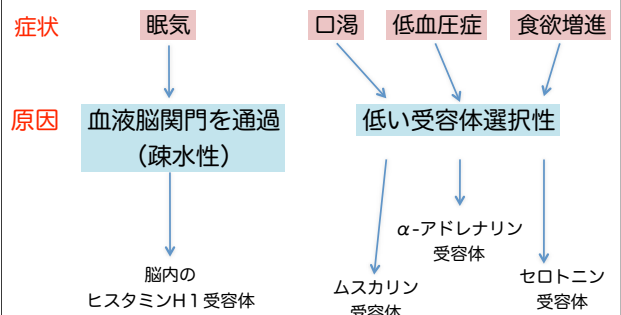


膜タンパク質の構造解析：構造生物学に残された最後の難題

- ・これまでに450種類程度の構造しか明らかになっていない。
- ・ほ乳類の膜タンパク質に関しては40種類程度しか解かれていない。

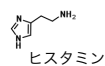


抗ヒスタミン薬の副作用

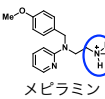


抗ヒスタミン薬の分類

天然リガンド (作動薬)

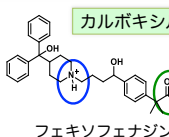
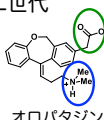


第一世代



- * 比較的小さい分子
- * 疎水性
- 副作用が多い

第二世代



- カルボキシル基の導入した物が有効
- 中枢移行性が低い
- 受容体選択性が高い
- 親和性が低下する物が多い

ドキシセピン

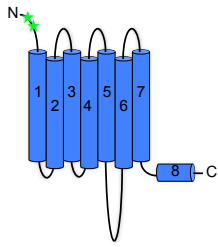


- * 第一世代抗ヒスタミン薬
- * アミン受容体に親和性が高い

	ヒスタミン H1 受容体	セロトニン受容体 5HT2a	ムスカリン受容体 M1	アドレナリン受容体 α1	ドーパミン受容体 D2
K _i (nM)	0.7	3.3	6.8	38	63

Nonaka et al., Eur.J.Pharma. (1998) 345, 111-7

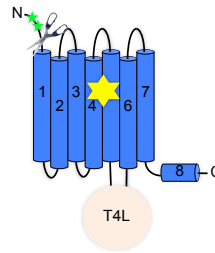
Histamine H1 receptor



- * 487 amino acids residues
- * Long 3rd cytoplasmic loop (~170 residues)
- * Two glycosylation sites

7

Stabilized H1R construct

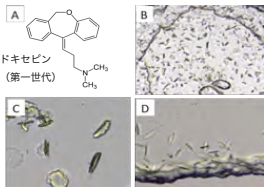


- * Deletion of N-terminal 19 residues (including two glycosylation sites)
- * T4L replacement
- * Crystallized with Doxepin
- * Expression: Yeast system (*Pichia pastoris*)

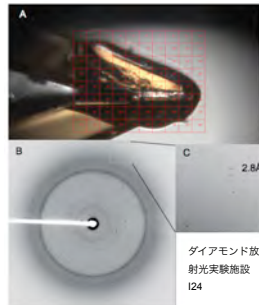
8

ヒト・ヒスタミンH₁受容体の結晶構造解析

T4リゾチーム融合蛋白質の安定化変異体を作製、メタノール産性酵母で生産。脂質キュービック相法で結晶化。10 μ mのマイクロフォーカスビームを使ってデータ測定。

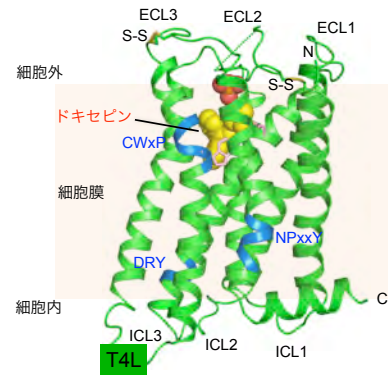


キュービック液晶中で結晶化実験
長さ20-30 μ m、厚さ3-5 μ m



ダイヤモンド放射光実験施設 I24

ヒスタミン受容体の立体構造



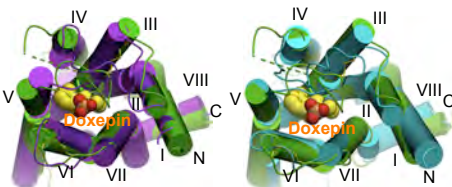
No secondary structures in ECLs and ICLs

10

膜貫通ヘリックスの構造比較

ドーパミンD3受容体との比較

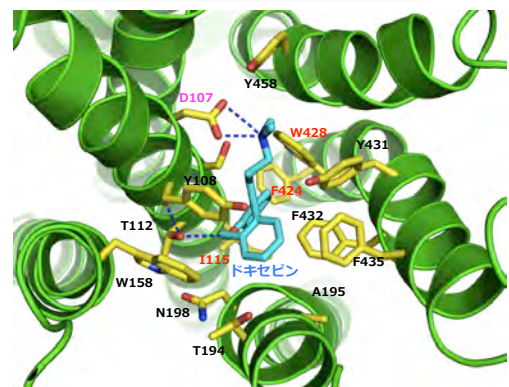
β 2アドレナリン受容体との比較



ヒスタミンH₁受容体
ドーパミンD₃受容体 β 2アドレナリン受容体

7回膜貫通ヘリックスは他の受容体と相同性が高い。

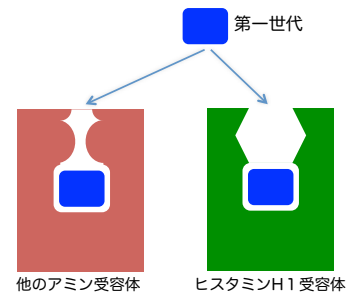
ドクセピン結合部位



ドクセピン結合部位を形成する残基は多くのアミン受容体で同じ性質の残基に保存されている

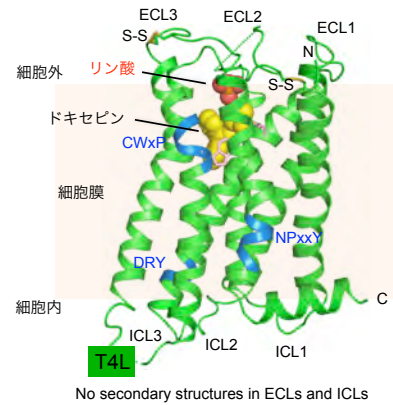
	H ₁ R	Serotonin receptor	Muscarinic receptor	α-adrenergic receptor	β-adrenergic receptor	Dopamine receptor
Helix III	D107	D	D	D	D	D
	Y108	V/I/M/V	Y	V	V	I/V
	S111	C/S	S	C	V	S/C
	T112	T	N	T	T	T
	I115	I	I	I	I	I
Helix V	T194	S/G	T	S	S	S
	N198	S/A	A	S	S	S
	F199	F	F	F	F	F
Helix VI	F424	F	F	F	F	F
	W428	W	W	W	W	W
	Y431	F	Y	F	F	F
	F432	F	N	F	F	F
Helix VII	Y458	Y	Y	Y	Y	W/Y

第一世代抗ヒスタミン薬の受容体選択性が低い理由



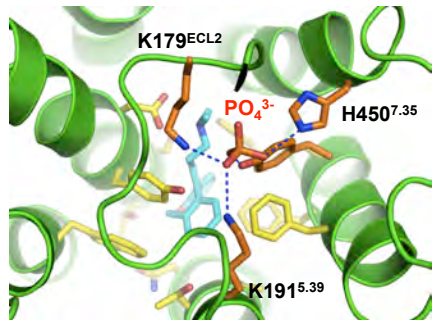
なぜ第2世代抗ヒスタミン薬は受容体選択性が高いのか

ヒスタミン受容体の立体構造



リン酸結合部位

三個の正電荷を有する残基により形成



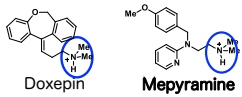
リン酸結合部位を形成する正電荷を有する残基はほかの生体アミン受容体では全く保存されていない

	H ₁ R	Serotonin receptor	Muscarinic receptor	α-adrenergic receptor	β-adrenergic receptor	Dopamine receptor
ECL2	K179	A/D/Q/T/S	Q	I/E/F/Q	C	N/V
Helix V	K191	T/V/M	T	V/A/I	A/V	A/V
Helix VII	H450	F/G/A/S/L	W	F	F/Y	F/Y/V

正電荷を持つアミノ酸
 負電荷を持つアミノ酸
 それ以外はすべて中性アミノ酸

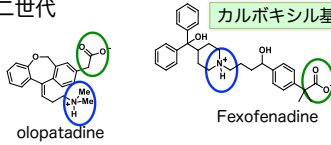
抗ヒスタミン薬の分類

第一世代



- * 小さい分子
- * 疎水性
- 副作用が多い

第二世代

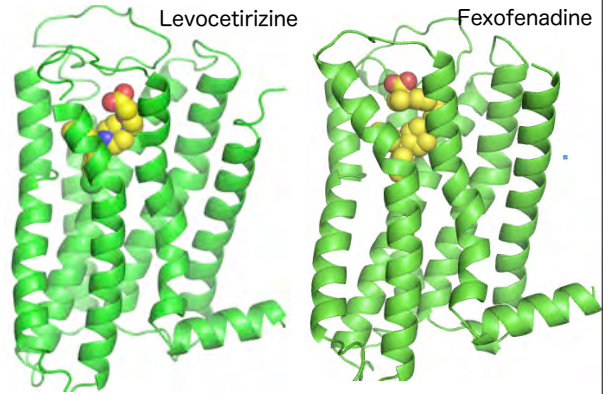


- カルボキシル基の導入
- 中枢移行性が低い
 - 受容体選択性が高い
 - 親和性が低下
 - 重篤な副作用も

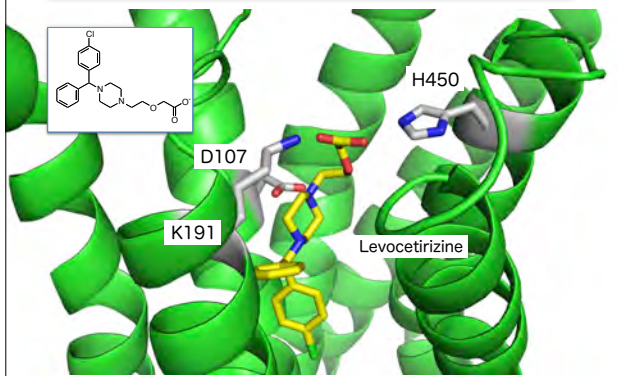
より副作用が少なく効果の高い抗ヒスタミン薬の必要性

構造解析へ

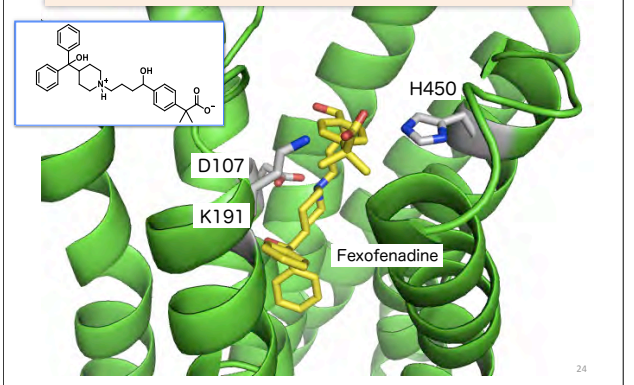
結晶構造



Levocetirizine結合部位

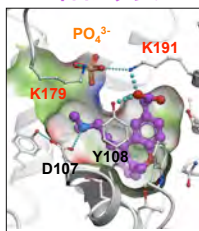


Fexofenadine結合部位

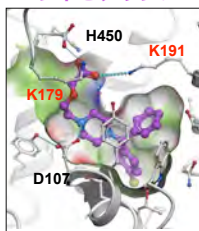


第二世代抗ヒスタミン薬の複合体構造

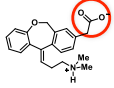
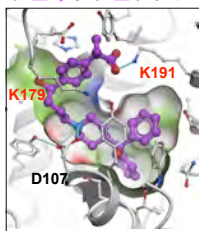
オロパタジン



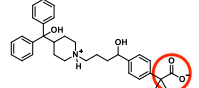
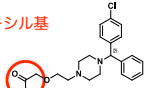
レボセチリジン



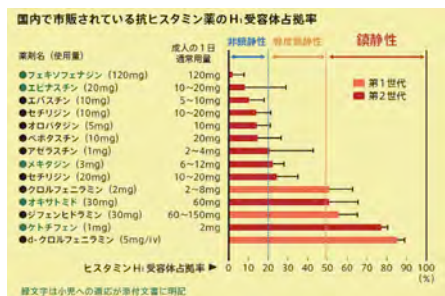
フェキソフェナジン



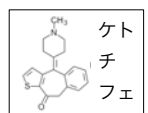
カルボキシル基

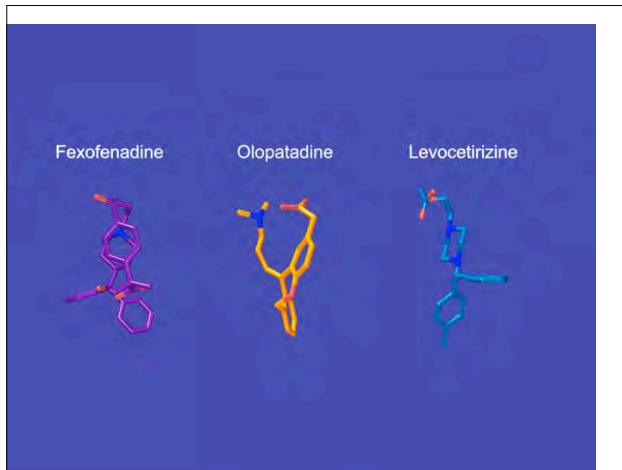


抗ヒスタミン薬のH1受容体占拠率による脳内移行性の評価



結合が弱い
内皮細胞に強く結合
中枢に結合





各種リガンドの親和性 (K_i)の比較

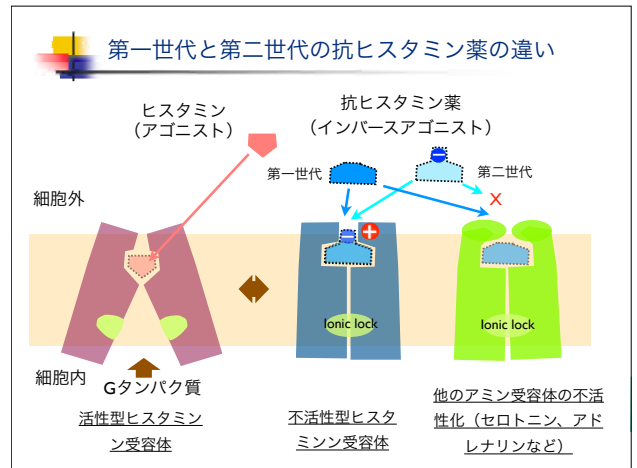
- 第一世代の抗ヒスタミン薬は親和性が高い
- 第二世代の中でオロパタジンは高い親和性を示す
- オロパタジンの結合はリン酸によって安定化される

	1.5mM リン酸存在下 (nM)	リン酸非存在下 (nM)
アゴニスト		
ヒスタミン	130±30	240±30
第一世代		
ピリラミン	4.2±0.4	15±2
ドキシセピン	2.2±0.5	2.3±0.3
第二世代		
オロパタジン	25±20	37±0.7
セチリジン	160±20	100±30
フェキソフェナジン	300±50	410±22

リン酸の受容体の熱変性温度 (T_m) に対する効果

- ドキシセピン及びオロパタジン存在下ではリン酸で熱安定性が向上する
- セチリジン存在下ではリン酸は熱安定性に効果がない。
- オロパタジンの結合はリン酸の結合を阻害しないと考えられる。

	1.5mM リン酸存在下 (度)	リン酸非存在下 (度)
第一世代		
ドキシセピン	56.0	51.1
オロパタジン	53.9	50.4
第二世代		
セチリジン	45.4	45.5



結晶構造は薬剤開発に役立つのか？

27

ヒト・ヒスタミンH₁受容体に対するFragment-like化合物のスクリーニング (Amsterdam VU, Leursらとの共同研究)

- 構造解析後、一ヶ月で終了 (JMC2011)
- 10万個のフラグメントを用いたバーチャルスクリーニングで26個の化合物がヒット
- ライブラリーのスクリーニングの結果これらの化合物の内19個が実際に結合
- 全く新しい骨格を含む。解離定数 > 6.3nM
- ヒットレートは74%と非常に高い。

ホモロジーモデルベース 結晶構造ベース

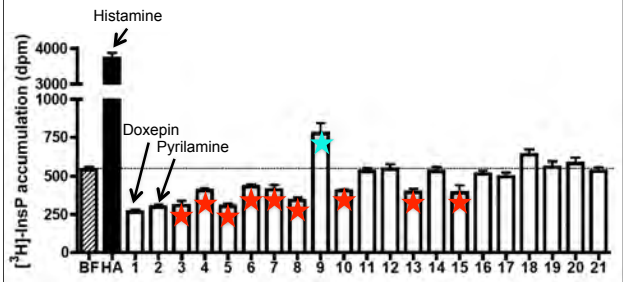
結晶構造ベース、スコアリングの改善

19/26 compounds have high affinities ($K_i \leq 10\mu\text{M}$)

Compound	pKi	Compound	pKi
1	8.20	10	5.58
2	7.21	11	5.49
3	6.37	12	5.38
4	6.27	13	5.34
5	6.15	14	5.27
6	6.15	15	5.20
7	6.10	16	5.09
8	5.75	17	4.97
9	5.72	18	4.96
19	5.64		

7 show submicromolar affinity

Inositol phosphate accumulation assay



9 out of 19 compounds are characterized as inverse agonists.
1 out of 19 compounds are characterized as a partial agonist.

Collaborators

Imperial College London
/ Diamond Light Source (MPL)
/ Kyoto University (ERATO)

Tatsuro Shimamura
(ERATO)

Mitsunori Shiroishi

(ERATO)
Hirokazu Tsujimoto (ERATO)
Simone Weyand (MPL)
Takuya Kobayashi (ERATO)
So Iwata

Diamond Light Source
Graeme Winter

The Scripps Research Institute

Vadim Cherezov

Wei Liu
GyeWon Han

Raymond C. Stevens

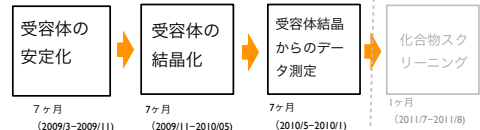
University of California, San
Diego

Vsevolod Katritch

Ruben Abagyan

GPCRの構造を決めるのに必要な時間? (膜蛋白質の構造ベース創薬の問題点)

- 構造解析手法が確立しているClass Aで内在性リガンドがあるもの (270個)
- 最も重要なクラスの創薬ターゲット、リガンドも豊富で安定化に有効
- 相同性が高く構造が類似しており設計がしやすい



H₁の例: 21ヶ月 (270個: 472年)

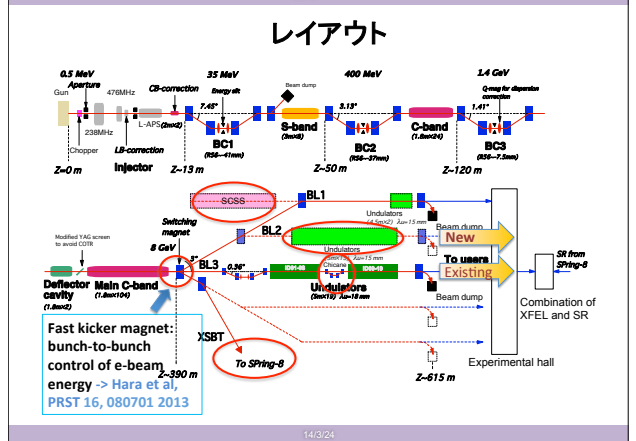
今から5年で解析できる早さ: 3ヶ月, 3ヶ月, 1ヶ月以下, 7ヶ月

270個: 6チーム、5個並列 → 5年間

自由電子レーザー-SACLAを用いた膜蛋白質構造解析の迅速化



レイアウト



創薬コンソ

XFELと放射光でのデータ測定の違い

	放射光	SACLA
結晶のサイズ	50-100ミクロン程度	10ミクロン程度
データの測定法	振動写真法（一つの結晶を回しながら、多くのイメージを測定する）	非常に多くのランダムな方位の結晶からデータを測定する
サンプルの導入法	凍結させた状態で一つづつマウントする。	インジェクターを用い分散させた結晶を噴霧する
放射線損傷	小さい結晶、強いビームでは暑い	1回のパルスで破壊されるが、1枚のイメージは損傷を受ける前に測定される
測定時間	放射線損傷の激しい場合には非常に多くの結晶および長い時間が必要	自動かつ高速（30分程度）
サンプル要求量	通常最低数mgの蛋白質が必要	非常に多量のサンプルが必要だったが、インジェクターの改良により、数100μg程度（新インジェクターではその3/4）までに低減した。

14/3/24

自由電子レーザーによる構造解析の迅速化

- スタンフォードで先行実験が行われており、すでに3Åを超えるデータが測定されている（論文では8.5Å）
- ジェットを使いインジェクトする事により、1時間で20万個（60Hz時）程度の結晶の測定が可能（例では112,725イメージより、15,445を選びだして用いている）
- 微結晶からのデータ測定の早さを1000倍以上加速できる、可能性がある
- オーダーの悪い結晶からも十分な分解能のデータを得られる可能性がある。

14/3/24

創薬コンソ

研究開発の内容

膜蛋白質などの創薬ターゲットの構造決定は難しくかつ時間を要する。本提案では**測定装置開発グループ**と**創薬ターゲット蛋白質構造研究グループ**を緊密に連携させることにより、5年以内にその迅速構造解析法の確立を目指す。多数の結晶をインジェクター等を用いて供給しそれにXFELパルスを当て、化学結合の切断されるより短い時間（<10fs）でデータを測定する装置を技術開発の核とする。本実験および装置開発のためには凍結しない状態で大量の結晶を調製することが必要であり、分担機関が**on site**の**大量調製施設**と連携してサンプルを供給し、また構造解析及び機能研究を担当する。

14/3/24

創薬ターゲット蛋白質の迅速構造解析法の開発

研究開発の実施体制

- 測定装置の開発とon siteでのサンプル大量供給施設の確立
 - 京都大学 薬学研究所 加藤博章、医学研究所 島村建郎
- フレキシブルなマルチモジュール難結晶性蛋白質の解析法の確立
 - 大阪大学 蛋白質研究所 高木淳一
- 創薬標的膜輸送体・チャネルの迅速構造解析と分子動力学シミュレーション
 - 東京大学 大学院理学系研究科 瀧木理
- 細胞内でのタンパク質結晶の生産および構造解析技術開発
 - 高エネルギー加速器研究機構 シャバパス レオナルド、湯本史明

14/3/24

創薬コンソ

on siteのサンプル大量調製施設の設立

- 構造生物標およびハイスループットファクトリー内に昆虫細胞培養やキュービックフェーズ結晶化可能な蛋白質生産施設を設置した。
- オンサイト結晶の作成及びサイズ管理を行い、インジェクターのオフラインテストに供し、装置の開発の促進を行っている。
- 凍結しない結晶の輸送が難しいため、共同実験者の実験に用いる結晶の作製も行っている。

インジェクタに装填されたLCP中で得られたバクテリオロドプシンの結晶

14/3/24

創薬コンソ

回折装置DAPHNIS

(Diverse Application Platform for Hard x-ray diffraction **IN** SACLA)

- Versatile platform for SFX (diffraction/scattering) experiments for various samples
- Various injectors can be easily attached
- Ready for pump and probe experiments

14/3/24

創薬ターゲット蛋白質の迅速構造解析法の開発

データ測定まとめ

インジェクタタイプ	測定されたタンパク数	構造解析されたタンパク数
ジェット式	15	4
循環型	11	5
LCP	4	1

データの処理の流れ (リゾチームの例)

7 runs (14,000枚) 測定時間 約12分 (3 ml, 45 mg)

Pythonスクリプト作成。水リングの内側の領域に10000カウント以上のピクセルがあるものを抽出し、個々のファイルに分割 (6148枚)

Program: Indexamajig (CrystFEL) 3520枚が積分可能

Program: check_hkl (CrystFEL) 完全性、I/σ、多重度の算出

Program: process_hkl (CrystFEL) 同じ指数の積分強度の平均を計算し、その指数の強度とする。

※23年度進捗評価会

創薬ターゲット蛋白質の迅速構造解析法の開発

インジェクタまとめ

インジェクタタイプ	測定されたタンパク数	構造解析されたタンパク数
ジェット式	15	4
循環型	11	5
LCP	4	1

インジェクタタイプ別の比較:

- サンプル循環型インジェクタ:** 溶液に懸濁した結晶 (例: 可溶性タンパク質)。5mL (およそ100mg程度) のサンプルが必要。ルーチン測定可能。年度末までに温度制御、吐出の安定化を行う。
- 脂質キュービックフェーズ法 (LCP法) 用インジェクタ:** 粘稠なゲル中で得られた結晶 (例: LCP中で結晶化させた膜タンパク質)。30 μL (100μg程度) のサンプルが必要。測定可能。現在温度制御機能を追加。年度末までに専用機の仕様を決定。
- 液滴インジェクタ:** 溶液に懸濁した結晶 (例: 界面活性剤存在中で結晶化させた膜タンパク質)。~50μL (100μg程度) のサンプルが必要。開発中: 今年度内にSACLAを利用した試行実験を実施する。

理研 (Song, 若田) 東大 (真船), JASRI (登野)

※23年度進捗評価会

創薬ターゲット蛋白質の迅速構造解析法の開発

検出器システムの開発

実用化: 早期の成果創出 (1年) → 新規開発の装置で対応 (3年) → 兵庫県立大 (木下) (5年)

開発の進捗と課題:

- 0年: 検出器の提案
- 1年: 供用 (フィードバック)
- 2年: 要件項目の顕在化
- 3年: 新規開発の装置で対応 (A) 60 Hz運転対応, (B) 10-12 keV領域での感度向上, (C) 8センサー超大面积検出器
- 4年: データの正確度の向上 (D)
- 5年: 成果 (プロトタイプ) の供用による早期の成果創出に貢献

課題: データの正確度の担保に課題あり (特にナノ結晶実験では課題がある)、ソフトウェアによる各種補正の導入によって顕著な問題を対処したところ、ハードウェアの対処も近々に必要。ただし費用と時間が必要で鋭意取り組んでいるところ。本課題では広角対応にむけた小型化、および正確度が向上した読み出し回路の開発を実施中

小型・高正確度回路の開発 (160 mm)

※23年度進捗評価会

創薬ターゲット蛋白質の迅速構造解析法の開発

データ測定まとめ

インジェクタタイプ	測定されたタンパク数	構造解析されたタンパク数
ジェット式	15	4
循環型	11	5
LCP	4	1

データの処理の流れ (リゾチームの例)

7 runs (14,000枚) 測定時間 約12分 (3 ml, 45 mg)

Pythonスクリプト作成。水リングの内側の領域に10000カウント以上のピクセルがあるものを抽出し、個々のファイルに分割 (6148枚)

Program: Indexamajig (CrystFEL) 3520枚が積分可能

Program: check_hkl (CrystFEL) 完全性、I/σ、多重度の算出

Program: process_hkl (CrystFEL) 同じ指数の積分強度の平均を計算し、その指数の強度とする。

※23年度進捗評価会

創薬ターゲット蛋白質の迅速構造解析法の開発

チロシナーゼの構造解析 (ジェット型インジェクター)

Resolution	No. Refs	Observed	Comp	Mean	Min	Max	I/s	SIG dno	Mean
5.51	10108	10321	99.87	760913	75.3	7.92	15347.76	10861.02	
2.51	9648	9755	98.9	532335	55.2	3.36	864.17	1700.28	
2.1	9481	9695	97.79	507219	53.5	2.54	485.62	1006.21	
1.87	9327	9642	96.73	502127	53.8	2.28	358.54	685.64	
1.72	9265	9648	96.03	503657	54.4	2.17	304.29	553.43	
1.61	9030	9552	94.54	518559	57.4	2.04	247.52	418.32	
1.52	8455	9587	88.19	527761	62.4	1.65	128.69	196.02	
1.45	7726	9566	80.77	295063	38.2	1.39	119.82	163.94	
1.39	7063	9569	73.81	161928	22.9	1.27	123.92	124.76	
1.34	8140	9526	85.45	106012	13	1.11	55.28	166.06	

Conditions

- λ = 1.23 Å (10.0 keV).
- 40 mg of microcrystals in 8ml solution.
- P212121
- a = 67.00, b = 95.09, c = 63.40 Å

Data processing with CrystFEL

Refinement with REFMAC5

- Resolution: 20 – 1.7 Å (1.74 – 1.70 Å).
- Reflections: 43,010.
- Completeness: 100% (100%).
- Mean B: 30.3 Å².
- R-work: 29.1% (47.0%).
- R-free: 35.2% (47.2%).
- CC Fo-Fc: 0.930.
- CC Fo-Fc free: 0.888.

Electron density map (2Fo – Fc, 1σ)

※23年度進捗評価会

創薬ターゲット蛋白質の迅速構造解析法の開発

Nativeミオグロビンの構造解析 (循環型インジェクター)

Resolution	No. Refs	Observed	Comp	Mean	Min	Max	I/s	SIG dno	Mean
4.99	6468	6561	98.58	66884	10.3	3.09	90602.79	79241.93	
2.38	4466	6570	98.26	51974	8.1	3.39	24037.76	25895.53	
1.99	4270	6518	96.20	41796	6.7	3.17	10104.23	9777.60	
1.78	6198	6552	94.60	39729	5.8	4.68	4818.43	4326.51	
1.63	6166	6524	93.75	33900	5.5	4.72	1700.28	2858.26	
1.53	5795	6657	86.45	27268	4.7	6.11	1547.07	2630.91	
1.44	3670	6596	56.41	12699	3.5	7.24	1209.11	2149.02	
1.38	2025	6532	31.05	5669	2.8	7.76	1074.14	1862.49	
1.32	555	6571	8.45	1317	2.4	5.98	5069.81	1732.87	
1.27	7	6538	0.11	14	2.0	2.06	735.30	777.11	

Conditions

- λ = 1.22 Å.
- 30 mg of microcrystals in 15ml solution.
- Collected for 120 min.
- More than 1000 ml solution circulated.
- P21
- a = 35.41, b = 28.59, c = 62.78 Å, β = 105.99°

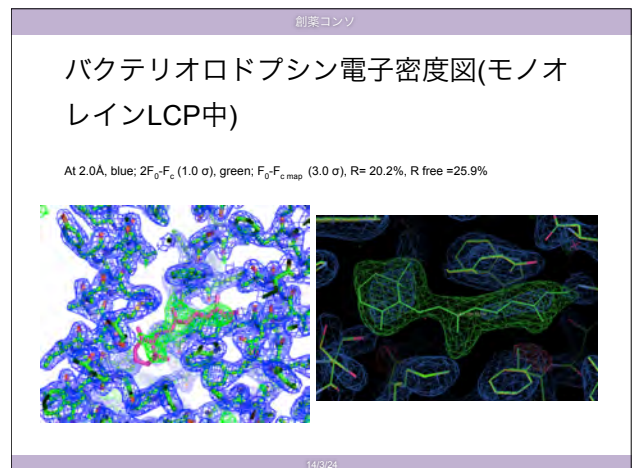
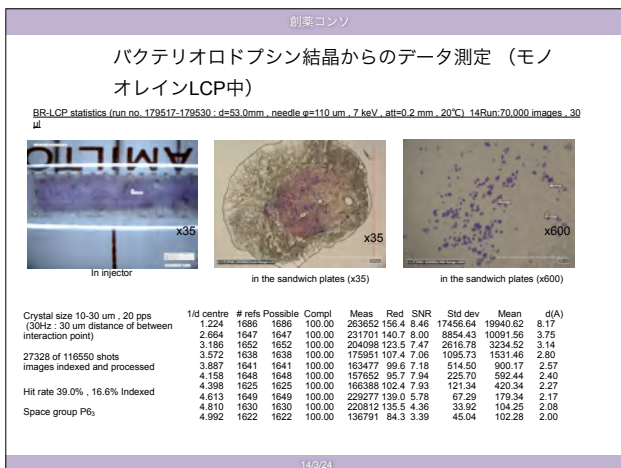
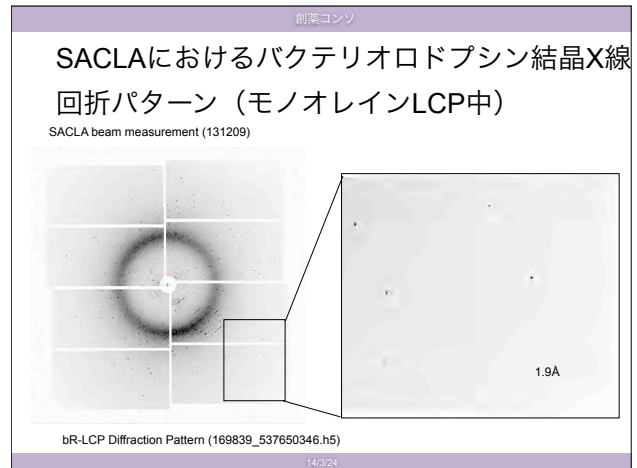
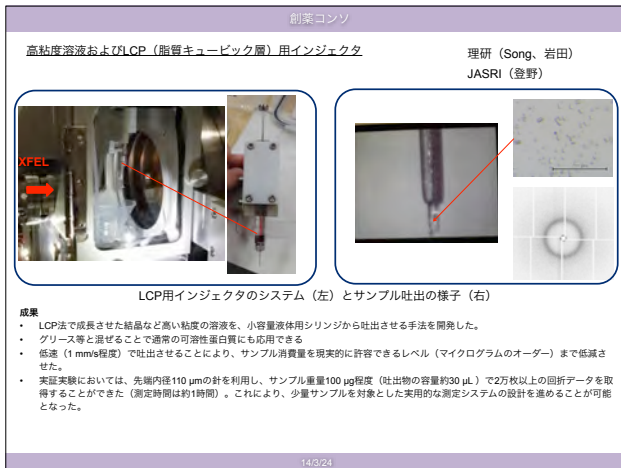
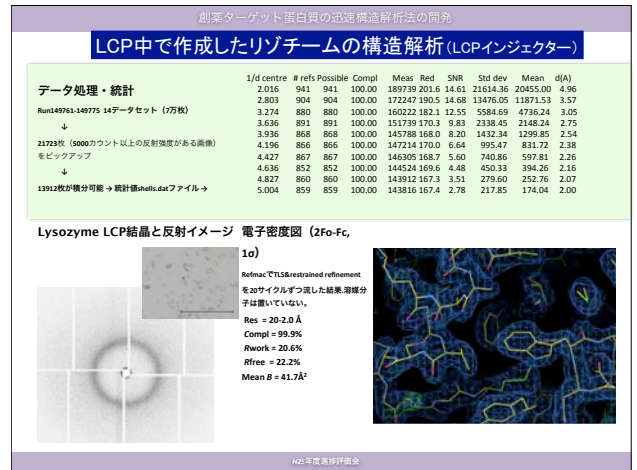
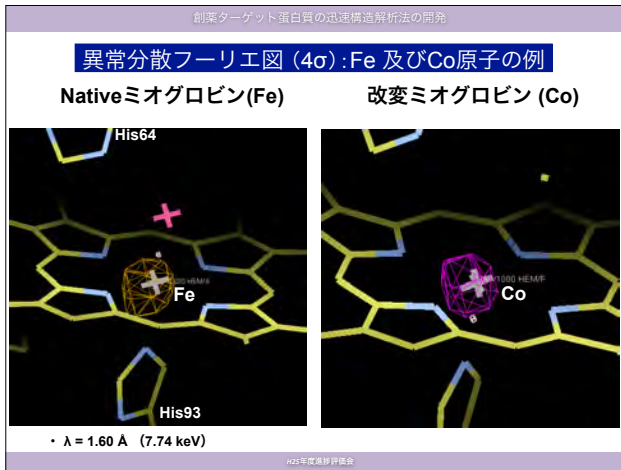
Data processing with CrystFEL

Refinement with REFMAC5

- Resolution: 10 – 1.5 Å (1.53 – 1.50 Å).
- Reflections: 18,333.
- Completeness: 96.6% (63.1%).
- Mean B: 14.2 Å².
- R-work: 20.3% (25.0%).
- R-free: 23.9% (25.4%).
- CC Fo-Fc: 0.916.
- CC Fo-Fc free: 0.899.

Electron density map (2Fo – Fc, 1σ)

※23年度進捗評価会



BL2

- 新たな硬X線FELビームライン
- 2014年夏: アンジュレータのインストール
- 10月: コミッショニング (BL3の利用運転と並行)
- 2015年1月: 試験利用
3月: 供用開始
- BL3とのビーム振り分け: 供用開始直後は一定時間毎に交互に運転。早期に動的振り分けに移行し、実効ビームタイムの倍増を図る
- PX、BIOを中心に、ルーチン的な実験を想定
- 多様な試料を可能とし、産業利用も含む一層の汎用化を図る